

## کاربرد موجک در تقریب توابع یک بعدی و حل معادلات دیفرانسیل معمولی

دانیال خشابی

سید محسن موسوی دزفولی

دانشکده‌ی مهندسی برق، دانشگاه صنعتی امیرکبیر (پلی تکنیک)، تهران، ایران

d.khashabi@gmail.com

moosavi.sm@gmail.com

چکیده - در این مقاله ابتدا به معرفی مقدماتی در مورد موجک<sup>۱</sup>، ویژگی‌های آن و معرفی کلی کاربردهایی از آن پرداخته می‌شود. در ادامه استفاده از آن برای تقریب توابع نشان داده خواهد شد. تقریب معرفی شده اساساً برای توابع یک بعدی است و برای بالاتر از یک بعد تنها به ذکر روابط آن بسنده شده است. با توجه به مقدماتی که در مورد تقریب توابع گفته شد، از موجک برای تقریب عددی جواب معادلات دیفرانسیل استفاده شده است. در روند رسیدن به جواب نشان داده شده است که این روش عددی معرفی شده، می‌تواند در بدست آوردن جواب معادلات دیفرانسیل خطی با ضرایب ثابت، بسیار کارآمد عمل کند. نمونه‌ای از حل معادله‌ی دیفرانسیل خطی با ضرایب ثابت آورده شده است.

کلید واژه- موجک، Haar Wavelet، معادلات دیفرانسیل معمولی.

### ۱- مقدمه

است که به دنبال روش‌های عددی بهینه‌تری برای آنالیز معادلات دیفرانسیل گوناگون برای مقاصد خاص بود.

باید اذعان کرد که کاربرد موجک بسیار گسترده بوده و در تمامی زمینه‌ها امکان‌مانور برای آن وجود دارد. برای مثال فشرده‌سازی اطلاعات اعم از تصویر و ...، حذف نویز اطلاعات، پردازش سیگنال اعم از تصویر یا صدا، آنالیزهای عددی مانند حل معادلات دیفرانسیل معمولی و پاره‌ای و سایر کاربردهای آن [1]. موجک Haar که در ادامه به آن خواهیم پرداخت، در میان سایر موجک‌ها به علت سادگی، محبوبیت بیشتری نسبت به سایر موجک‌ها پیدا کرده است.

### ۲- موجک

**خاصیت تعامد<sup>۴</sup>:** گوییم  $f$  و  $g$  بر هم متعامد<sup>۵</sup> هستند، اگر حاصلضرب داخلی آنها صفر باشد. در واقع:

$$f \perp g \Leftrightarrow \langle f, g \rangle = \int fg^* = 0 \quad (1)$$

با توجه به تعریف بالا مجموعه‌ای مانند  $\{f_n\}_{n \in \mathbb{Z}}$  را "مجموعه‌ی متعامد" گوییم که  $\langle f_m, f_n \rangle = \delta_{m,n}$  که  $\delta_{m,n}$  دلتای کرانکر است:

تئوری موجک در ۲۰ سال اخیر توسعه‌ی زیادی یافته است. بطوریکه که کاربردهای زیادی در زمینه‌ی ریاضیات، فیزیک، علوم کامپیوتر و مهندسی یافته است. اخیراً استفاده از بسته توابع موجک<sup>۲</sup> برای آنالیزهای ریاضی، رونق یافته است. استفاده از موجک در آنالیزهای عددی معادلات دیفرانسیل در چند سال گذشته پیشرفت زیادی کرده است. وجود مشکلات زیاد در حل معادلات دیفرانسیل اعم از معمولی یا پاره‌ای چه از طریق حل‌های عددی و یا حل پارامتری گریبان‌مهندسین را گرفته است. چرا که اغلب مواقع در مطالعه‌ی پدیده‌های طبیعی و آزمایش‌های عملی، نتیجه‌ی آزمایش به حل یک معادله‌ی دیفرانسیل منجر می‌شود که به علت پیچیدگی (اعم از غیرخطی بودن و یا بالابودن درجه‌ی معادله‌ی خطی) به ناچار باید راه‌هایی عددی برای حل آنها یافت. در مواقع بسیاری شرایط مساله باعث می‌شود که راه‌های عددی شناخته شده در آن مورد خاص جواب عددی مناسبی بدست ندهند.<sup>۳</sup> لذا همواره لازم

1 Wavelet

2 Wavelet Packets

<sup>۳</sup> یکی از شرایطی که در دقت جواب‌های بدست آمده از راه‌های عددی دخیل است وضعیت *stiffness* توابع می‌باشد. به توابعی که معمولاً در برابر روش‌های عددی، جواب‌های مناسبی نمی‌دهند *stiff* اطلاق می‌شود.

امکان مکان‌یابی سیگنال را چه در مقیاس زمان و چه در مقیاس فرکانس را می‌دهد. در صورتی که مجموعه ضرایب سری فوریه، تنها اطلاعاتی را در مورد نحوه توزیع فرکانس‌های یک سیگنال را به ما می‌دهند. یکی از اشکالاتی که اینجا ایجاد می‌شود، این است که ممکن است دو سیگنال متفاوت تنها به علت فرکانس‌های مشترک موجود در آنها، دارای بسط ضرایب فوریه شبیه به هم باشند. در صورتی که ضرایب موجک امکان مکان‌یابی را در دو بعد زمان و فرکانس را به ما می‌دهند. به این ویژگی ذکر شده که به آن ماهیت چندرزولوشن<sup>۱۲</sup> موجک‌ها نیز گفته می‌شود، باعث شده‌است این ابزار در کارهای پردازشی اعم از سیگنال و یا تصویر و یا ... جایگاه خاصی بدست آورد [2].

یکی از دلایلی که باعث برتری آنالیز موجک بر سایر نمونه‌های مشابه آن می‌شود، میل سریع ضرایب حقیقی توابع پایه آن به ازای کلاس‌های مختلف از سیگنال‌ها است. ویژگی وابستگی کم سرعت همگرایی ضرایب به نوع تابع<sup>۱۳</sup> بسیار مهم است. چرا که می‌توان در شرایط مختلط و بی-توجه به سیگنال هدف از تقریب مورد نظر برای توابع استفاده کرد. این دو ویژگی اخیر باعث توانمندی این ابزار در مطالعات مربوط به فشرده‌سازی تصویر و سیگنال، رفع نویز و شناسایی آن در تصاویر و سیگنال‌ها شده است. بسط موجک توانایی همگرایی دقیق‌تری در مقیاس محلی دارد. هر یک از اجزای سری فوریه، در کل بازه زمانی، بر سیگنال اثر می‌گذارند. در صورتی که پایه‌های موجک دارای خاصیت محلی<sup>۱۴</sup> بوده و ویژگی‌های سیگنال را در همسایگی نقطه در نظر می‌گیرند. به همین دلیل است که در نقاط ناپیوستگی همگرایی قابل ملاحظه‌ای نسبت به سری فوریه دارند. باید اشاره کرد که تنها یک نوع موجک وجود ندارد. بلکه انواع و اقسام موجک‌ها برای مقاصد مختلف طراحی شده‌اند. لذا در مقاصد خاص می‌توان از موجک‌هایی خاص با توجه به ویژگی‌های آنها استفاده کرد.

می‌توان هر تابع دلخواه را بر اساس موجک‌های پایه‌ی

$$\delta_{m,n} = \begin{cases} 0 & n \neq m \\ 1 & n = m \end{cases} \quad (2)$$

در صورتی که بتوان هر تابع دلخواه  $f$  را بصورت ترکیب خطی یکتا از مجموعه‌ی توابع متعامد  $\{f_n\}_{n \in \mathbb{Z}}$  با ضرایب حقیقی  $c_i$  نوشت، بطوریکه:

$$f = \sum_{k \in \mathbb{Z}} c_k f_k \quad (3)$$

به  $\{f_n\}_{n \in \mathbb{Z}}$  یک "مجموعه‌ی پایه‌ی متعامد"<sup>۱۵</sup> گفته می‌شود. در واقع هر سیگنال را می‌توان با داشتن ضرایب توابع پایه‌ی آن دوباره بازسازی کرده و بدست آورد. یکی از مهمترین و پرکاربردترین مجموعه توابع پایه، پایه‌های بسط سری فوریه‌ی برای توابع متناوب است که توابع پایه‌ی آن منحنی‌های سینوسی/اکسینوسی یا به عبارتی دیگر توابع نمایی مختلط و برای بسط تیلور این توابع پایه، چند جمله‌ای‌ها هستند. روش‌های دیگر از بسط توابع وجود دارند که در بسط آنها از فراکتال‌ها و یا Spline‌ها استفاده می‌شود. در تبدیل گسسته موجک یک سیگنال<sup>۱۶</sup> از موجک‌ها برای بسط یک تابع استفاده می‌شود. در واقع موجک‌ها مجموعه‌ای از توابع متعامد پایه برای ساختن توابع (معمولا یک بعدی) هستند.

اگر از نماد  $\{\psi_k^j(x); j, k = 1, 2, 3, \dots\}$  برای نشان دادن توابع پایه‌ی موجک استفاده کنیم، می‌توان بسط ترکیب خطی توابع را بصورت  $f(t) = \sum_k \sum_j a_{j,k} \psi_k^j(t)$  نشان داد. بطور عام بدست آوردن ضرایب  $a_{j,k}$  را "تبدیل گسسته‌ی موجک" (DWT)<sup>۱۷</sup> و عملیات ساخت تابع  $f(t)$  را از روی ضرایب و توابع پایه را عکس تبدیل آن (IDWT)<sup>۱۸</sup> می‌گویند. معمولا به پایه‌های  $\psi_k^j(x)$  تابع موجک<sup>۱۹</sup> یا موجک‌های مادر<sup>۲۰</sup> گفته می‌شود.

در شرایطی که سری فوریه یک سیگنال را از یک بعد زمان به یک بعد از مجموعه‌ای از ضرایب تبدیل می‌کند، تبدیل گسسته‌ی موجک، یک سیگنال در یک بعد را به مجموعه‌ی دوبعدی از ضرایب تبدیل می‌کند. این آرایه‌ی دوبعدی

6 Orthogonal Basis  
7 Discrete Wavelet Transform  
8 Discrete Wavelet Transform  
9 Inverse Discrete Wavelet Transform  
10 Wavelet Function  
11 Mother Wavelet

12 Multi-resolution  
13 Unconditional Basis  
14 Local

موجک Haar<sup>۲۰</sup> استفاده گسترده‌ای در پردازش سیگنال مخابرات و تحقیقات فیزیک دارد. در واقع این موجک علیرغم سادگی آن، که در واقع از دو تابع مستطیلی برعکس هم تشکیل شده است، ابزار ریاضی بسیار قدرتمندی است. خانواده‌ی این موجک به این صورت تعریف می‌شود:

$$\Psi_{0,k}(x) = \psi(x - k) \quad (\delta) \text{ انتقال}$$

$$\Psi_{j,0}(x) = \psi(2^j x) \quad (\epsilon) \text{ تغییر مقیاس}$$

$$\Psi_{j,k}(x) = \psi(2^j x - k) \quad (\gamma) \text{ تغییر مقیاس و انتقال}$$

در حالت کلی می‌توان موجک Haar را به صورت زیر تعریف کرد:

$$h_i(t) = \begin{cases} 1, & \frac{k}{m} \leq t < \frac{k+0.5}{m} \\ -1, & \frac{k+0.5}{m} \leq t < \frac{k+1}{m} \\ 0, & \text{elsewhere} \end{cases} \quad (\lambda)$$

بطوریکه  $m$  پارامتر مقیاس<sup>۲۱</sup> با مقادیر  $m = 2^j$  ( $j=0,1,2,\dots,J$ ) و  $k$  پارامتر انتقال با مقادیر  $k=0,1,2,\dots,m-1$  است. بالاترین کیفیت زمانی رخ می‌دهد که مقدار  $j$  در پارامتر مقیاس  $m$  به بالاترین مقدار خود، یعنی  $J$  برسد. در جدول ۱ چند خانواده‌ی اول از موجک Haar دیده می‌شود [3]. با افزوده شدن به پارامتر انتقال، موجک به اندازه‌ی طول آن به سمت راست انتقال می‌یابد. این مساله امکان نمایش جزئیات را در محور زمان می‌دهد. با عوض شدن مقدار  $j$  اندازه‌ی مقیاس موجک تغییر می‌کند. این مساله این امکان را می‌دهد که بتوان جزئیات سیگنال را با دقت بیشتری نشان داد. بطور مشابه در سری فوریه تنها مقادیر ممکن برای  $k$ ، صفر و  $\frac{\pi}{2}$  است که موجب ایجاد کسینوس و سینوس در یک مقیاس از دقت می‌شود. در واقع می‌توان گفت سری فوریه نیز یک بسط دو بعدی است که یکی از ابعاد آن تنها دارای دو عضو است. به همین خاطر به راحتی می‌توان آن را بصورت یک بعدی (یک سری) نوشت.

متعامد با پارامترهای مقیاس<sup>۱۵</sup> و جابجایی<sup>۱۶</sup> گسسته (معمولا توانی از  $2^j$ ) گسترش داد. همانطور که گفته شد  $\psi(x)$  یک موجک مادر یا تابع موجک یک بعدی نامیده می‌شود. سایر اعضای موجک‌ها بر اساس موجک مادر، بصورت زیر تعریف می‌شود:

$$\{\psi_k^j(x) = a_j^{-\frac{1}{2}} \psi\left(\frac{x-b_k^j}{a_j}\right) : j, k \in \mathbb{Z}, x \in \mathbb{R}\} \quad (\phi)$$

$\psi_k^j(x)$  تابع موجک با مقیاس  $a_j = a_0 2^{-j}$  است که در مکان  $b_k^j = a_j k$  قرار گرفته‌است.

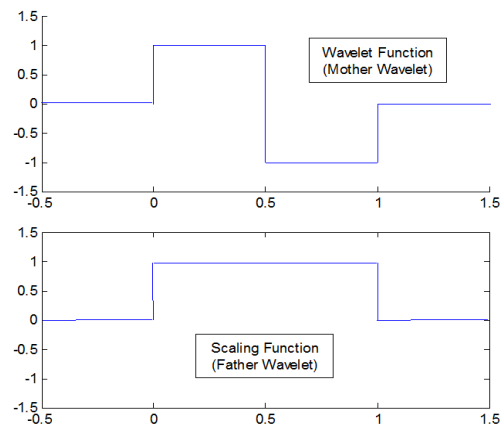
### ۳- تقریب توابع

در ادامه با معرفی ساده‌ترین رده از موجک‌ها با نام موجک Haar، سعی داریم عملیات تقریب و حل معادلات را با استفاده از آن انجام دهیم.

#### ۳.۱. موجک Haar

موجک Haar در سال ۱۹۱۰ توسط ریاضی‌دان مجارستانی، آلفرد هار معرفی و استفاده شد. موجک Haar مجموعه‌ی متعامد<sup>۱۸</sup> و کاملی<sup>۱۹</sup> از توابع پایه را شامل می‌شود که می‌توان از آنها برای تقریب توابع گسسته و پیوسته‌ی تکه‌ای استفاده کرد.

خاص‌ترین حالت موجک Haar بصورت شکل ۱ است.



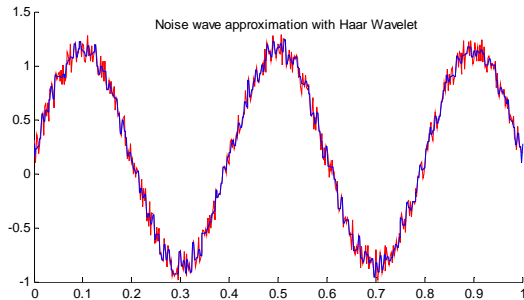
شکل ۱: موجک Haar؛ تابع موجک و تابع مقیاس

- 15 Scaling
- 16 Translation
- 17 Dyadic
- 18 Orthogonal Set
- 19 Complete Set

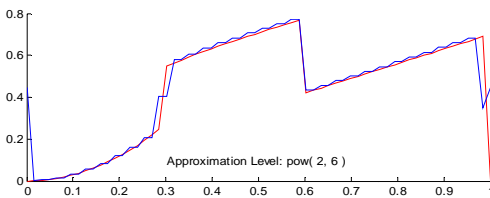
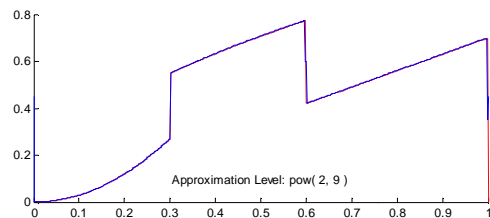
<sup>۲۰</sup> موجک Haar در واقع همان موجک Daubechies مرتبه ۱ است.

21 Scaling Parameter

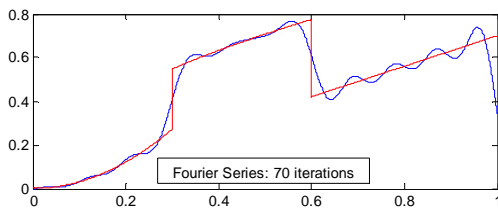
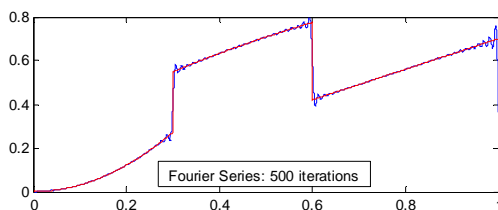
صورتی که تقریب با استفاده از موجک با دقت بالایی همگرا می شود.



شکل ۲: تقریب سیگنال نویز به وسیلهی موجک Haar

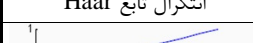
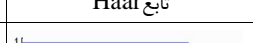



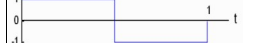














شکل ۳: تقریب یک تابع گسسته به وسیلهی دو تقریب متفاوت با موجک Haar



شکل ۴: تقریب یک تابع گسسته به وسیلهی دو تقریب متفاوت با سری فوری و مشاهدهی پدیدهی گیبس

جدول ۱: موجک Haar به همراه انتگرالهای آن

| انتگرال تابع Haar                                                                  | تابع Haar                                                                           | $h_i(t)$ |
|------------------------------------------------------------------------------------|-------------------------------------------------------------------------------------|----------|
|  |  | $h_0(t)$ |
|  |  | $h_1(t)$ |
|  |  | $h_2(t)$ |
|  |  | $h_3(t)$ |
|  |  | $h_4(t)$ |
|  |  | $h_5(t)$ |
|  |  | $h_6(t)$ |
|  |  | $h_7(t)$ |
|  |  | $h_8(t)$ |

هر تابع  $y(x) \in L^2[0,1]$  را می توان بصورت زیر تجزیه کرد:

$$f_j(t) = c_0 + \sum_{j=0}^{J-1} \sum_{k=1}^{2^j} \langle f(t), \psi_{j,k}(t) \rangle \psi_{j,k}(t) \quad (9)$$

$$\psi_{j,k}(t) = \frac{1}{\sqrt{2^j}} \psi(2^j t - k) \quad (10)$$

در واقع در سری بالا، ضرایب سری، حاصل ضرب داخلی زیر است:

$$c_n = \langle f(t), \psi_{j,k}(t) \rangle = \int_0^1 f(t) \cdot \psi_{j,k}(t) dt \quad (11)$$

$$c_0 = \langle f(t), 1 \rangle = \int_0^1 f(t) dt \quad (12)$$

قابل ذکر است که هرچه که مقدار  $J$  بیشتر شود، می توان به دقت بیشتری از تقریب دست یافت. برای مثال چندین تقریب به ازای مقادیر مشخص شده، برای توابع در شکل های ۲ و ۳ دیده می شود. در شکل ۲ دیده می شود که علیرغم تغییرات بسیار و سریع تابع اصلی، تقریب آن بوسیلهی موجک به خوبی به آن همگرا شده است. در شکل ۳ تابعی گسسته به همراه تقریب آن بوسیلهی موجک نشان داده شده است. مشاهده می شود با افزایش جملات در سری فوری، پدیده گیبس<sup>۲۲</sup> در نقاط ناپیوستگی بروز می کند، در

#### ۴- تقریب توابع $n$ -بعدی :

برای بدست آوردن توابع پایه‌ی موجک در  $n$ -بعد، می‌توان موجک‌های پایه را از حاصلضرب موجک‌های پایه‌ی یک بعدی بدست آورد [4]:

$$\psi_{\mathbf{k}}^j(\mathbf{x}) = \prod_{i=1}^n a_{x_{i,j}}^{-\frac{1}{2}} \psi\left(\frac{x_i - b_{k_i}^j}{a_{x_{i,j}}}\right) \quad (13)$$

در عبارت بالا،  $\mathbf{x}$  و  $\mathbf{k}$  بردار  $n$ -بعدی هستند. در واقع  $\mathbf{x} = (x_1, \dots, x_n)$  و  $\mathbf{k} = (k_1, \dots, k_n)$  و در نتیجه  $a_{x_{i,j}} = (b_{k_1}, \dots, b_{k_n})$  پارامترهای مکان و مقیاس موجک در  $n$  بعد و در مرتبه  $j$  از  $n$  باید متذکر شد، به علت پیچیدگی ایجاد شده در بیش از ۲ بعد و هزینه‌ی بالای محاسباتی آن، در عمل معمولاً از موجک‌های با ابعاد بیشتر از ۲ بعد استفاده نمی‌شود. البته می‌توان این محدودیت را به دقت تقریب  $j$ -ام منتقل کرد. در واقع اگر فرض کنیم تابع  $u(\mathbf{x})$  روی محدوده‌ی  $\Omega$  تعریف شده باشد، دقت  $j=0$  پایین‌ترین دقت در تقریب، در محاسبه‌ی تابع مذکور است. در واقع محدودیت‌های محاسباتی و حافظه‌ای، مرتبه‌ی تقریب تابع را محدود کرده‌اند. بنابراین تابع  $u(\mathbf{x})$  را می‌توان فقط تا دقت خاصی مانند  $j=J$  تقریب زد. لذا برای تقریب در  $n$ -بعد، مجموعه‌ی  $n$ -بعدی صحیح  $Z_{\Omega}$  وجود دارد که می‌توان تابع  $n$ -بعدی  $u(\mathbf{x})$  را به این صورت تقریب زد:

$$u^J(\mathbf{x}) = \sum_{j=0}^J \sum_{\mathbf{k} \in Z_{\Omega}} c_{\mathbf{k}}^j \psi_{\mathbf{k}}^j(\mathbf{x}) \quad (14)$$

#### ۵- حل معادلات دیفرانسیل معمولی با استفاده از موجک Haar

روش‌های عددی مختلفی با استفاده از موجک‌ها برای حل معادلات دیفرانسیل ارائه شده‌است. اکثر این روش‌ها، بهینه‌سازی روی روش‌های عددی موجود برای حل معادلات دیفرانسیل با استفاده از تئوری موجک است. از جمله روش Galerkin یا روش ممان<sup>۲۳</sup>، Collocation [5] Points و بهینه‌سازی روش‌هایی از جمله روش اجزا محدود (FEM)<sup>۲۴</sup> یا مسائل اجزاء مرزی (BEM)<sup>۲۵</sup> که

خود روش‌های عددی شناخته شده‌ای هستند و توسط تئوری موجک بهینه‌تر شده‌اند. در شرایطی که تمامی این روش‌ها برای بهینه‌سازی جواب‌ها و آسان کردن و سرعت بخشیدن به رسیدن به جواب‌ها نسبت به روش‌های قبلی مطرح شده‌اند، پیچیدگی‌های موجود در تئوری موجک، باعث عدم تمایل به استفاده از این ابزار در آنالیزهای عددی موجود شده است. آشکار است که استفاده از موجک Haar به عنوان ساده‌ترین موجک موجود می‌تواند محاسبات و پیچیدگی را به حداقل مقدار خود برساند.

از آنجایی که مشتق در نقاط ناپیوستگی وجود ندارد، امکان استفاده از موجک Haar به علت ناپیوستگی آن، برای حل معادلات دیفرانسیل بصورت مستقیم وجود ندارد. برای حل این مشکل دو راه حل کلی وجود دارد: الف) هموار کردن موجک Haar با استفاده از درون‌یابی که توسط Cattani [6] ارائه شد. این کار به شدت موجب پیچیدگی کار شده و در واقع یکی از مهمترین مزایای موجک Haar یعنی سادگی کار با آن را از بین می‌برد.

ب) استفاده از روش انتگرالی که توسط Chen و Hsiao [7] معرفی شد و توسط محققین مختلفی مورد توجه قرار گرفت. اینجا نیز از این طریق مسائل تحلیل خواهند شد. ایده‌ی اصلی این تکنیک آن است که یک معادله‌ی دیفرانسیل به یک معادله‌ی ماتریسی جبری تبدیل و حل می‌شود.

در حل معادلات دیفرانسیل با استفاده از این موجک، Chen و Hsiao [3] توانسته‌اند با بدست آوردن ماتریس‌های ضرایبی (ماتریس عملیاتی Haar<sup>۲۶</sup>) برای مرتبه‌های مختلف، یک راه حل عمومی برای حل معادلات دیفرانسیل معمولی با شرایط مقدار مرزی ارائه کنند و از آن در مدل‌سازی یک سیستم دینامیکی استفاده کنند. بر اساس موجک Haar، Lepik [3] با استفاده از روش معرفی شده توسط Chen و Hsiao، توانسته شیوه‌ای برای حل معادلات دیفرانسیل غیرخطی<sup>۲۷</sup> ارائه کند.

$$H_8 = \begin{bmatrix} 1 & 1 & 1 & 1 & 1 & 1 & 1 & 1 \\ 1 & 1 & 1 & 1 & -1 & -1 & -1 & -1 \\ 1 & 1 & -1 & -1 & 0 & 0 & 0 & 0 \\ 0 & 0 & 0 & 0 & 1 & 1 & -1 & -1 \\ 1 & -1 & 0 & 0 & 0 & 0 & 0 & 0 \\ 0 & 0 & 1 & -1 & 0 & 0 & 0 & 0 \\ 0 & 0 & 0 & 0 & 1 & -1 & 0 & 0 \\ 0 & 0 & 0 & 0 & 0 & 0 & 1 & -1 \end{bmatrix}$$

در ادامه‌ی توضیحاتی که در رابطه با ماتریس H اشاره کردیم، ماتریس P به عنوان ماتریس عملیاتی<sup>۲۹</sup> اینگونه تعریف می‌شود:

$$[PH]_{il} = \int_0^{t_l} h_i(t) dt \quad (۱۵)$$

مشخص است که این ماتریس دارای 2M سطر و ستون است. با توجه به رابطه‌ی (۱۵)، می‌توان چندین عضو اولیه از خانواده‌ی ماتریس P را از روی ماتریس های H معرفی شده بدست آورد.

$$P_2 = \frac{1}{4} \begin{bmatrix} 2 & -1 \\ 1 & 0 \end{bmatrix}$$

$$P_4 = \frac{1}{16} \begin{bmatrix} 8 & -4 & -2 & -2 \\ 4 & 0 & -2 & 2 \\ 1 & 1 & 0 & 0 \\ 1 & -1 & 0 & 0 \end{bmatrix}$$

$$P_8 = \frac{1}{64} \begin{bmatrix} 32 & -16 & -8 & -8 & -4 & -4 & -4 & -4 \\ 16 & 0 & -8 & 8 & -4 & -4 & 4 & 4 \\ 4 & 4 & 0 & 0 & -4 & 4 & 0 & 0 \\ 4 & -4 & 0 & 0 & -4 & 4 & 0 & 0 \\ 1 & 1 & 2 & 0 & 0 & 0 & 0 & 0 \\ 1 & 1 & -2 & 0 & 0 & 0 & 0 & 0 \\ 1 & -1 & 0 & 2 & 0 & 0 & 0 & 0 \\ 1 & -1 & 0 & -2 & 0 & 0 & 0 & 0 \end{bmatrix}$$

باید تاکید کرد که محاسبه‌ی این ماتریس‌ها تنها برای بار اول کافی است و با یکبار محاسبه، می‌توان آنها را برای هر معادله‌ی دلخواه بکار برد. در واقع در هر بار محاسبه‌ی جواب معادله، از مقادیر محاسبه‌ی شده‌ی قبلی برای ماتریس های P و H استفاده می‌شود.

برای بدست آوردن سرعت بیشتر در محاسبات این ماتریس ها، کافی است از طریق رابطه‌ی بازگشتی زیر به ماتریس-های با مرتبه‌ی بالاتر دست یافت [7]:

## ۵.۱ روش Chen and Hsiao (CHM) برای

### حل معادله دیفرانسیل خطی

با توجه به رابطه‌ی (۸) برای معرفی کلاس توابع پایه‌ی Haar معرفی شد که m پارامتر مقیاس<sup>۲۸</sup> با مقادیر  $m = 2^j$  ( $j = 0, 1, 2, \dots$ ) و پارامتر انتقال با مقادیر  $k = 0, 1, 2, \dots, m-1$  است. در صورتی اندیس i در نظر گرفته شود بطوریکه  $i = m+k+1$ ؛ در اینصورت به ازای  $m=1, k=0$ ، کمترین مقدار  $i=2$  می‌باشد و به ازای  $m=2^j$  داریم:  $i=2M=2^{j+1}$  اگر مقدار  $i=1$  را فرض قرار داده شود، شکل حاصل متناظر با تابع مقیاس  $h_1(t) = 1$  در بازه  $[0, 1]$  نشان داده شده در شکل ۱ خواهد بود.

برای انجام عملیات محاسباتی روی توابع مورد نظر، باید نقاط گسسته سازی شوند. به این ترتیب که نقاطی متناظر با زمان مجازی یا Collocation Points در نظر گرفته می‌شوند:

$$t_l = \frac{l - 0.5}{2M}, \quad (l = 1, 2, \dots, 2M)$$

با این کار ماتریس ضرایب  $H(i, l) = [h_i(t_l)]$  تعریف می‌شود که دارای ابعاد  $2M \times 2M$  است:

$$H_{m \times m} \triangleq [h_m(t_0) \ h_m(t_1) \ \dots \ h_m(t_{m-1})]$$

در واقع برای استفاده از موجک Haar برای عملیات عددی گوناگون، از ماتریس ضرایب آن استفاده خواهد شد. استفاده از ساختار ماتریسی برای ساده‌سازی عملیات محاسبه است.

$$H_2 = \begin{bmatrix} 1 & 1 \\ 1 & -1 \end{bmatrix}$$

$$H_4 = \begin{bmatrix} 1 & 1 & 1 & 1 \\ 1 & -1 & 0 & 0 \\ 1 & -1 & 0 & 0 \\ 0 & 0 & 1 & -1 \end{bmatrix}$$

بازهی حل است و عملگر (.) به معنای به توان رساندن تک تک درایه‌ها می باشد. این ماتریس معادل تابع  $f(t)=t$  است که عملگر (.) توان های آن را محاسبه می کند.

مثال: معادله ی دیفرانسیل خطی زیر را در نظر بگیرید:

$$y''' + ay'' + by' + cy = i(t)$$

این معادله با ضرایب ثابت است. با جایگذاری مشتقات برحسب موجک Haar و انتگرال های متوالی آن معادله ی ماتریسی به شکل زیر بدست خواهد آمد:

$$\begin{aligned}HX + a(PH)X + b(P^2H)X + c(P^3H)X \\ = I - [ay''(0) + by'(0) \\ + cy(0)] T^{(.)0} - [by''(0) \\ + cy'(0)] T^{(.)1} \\ - \frac{cy''(0)}{2} T^{(.)2}\end{aligned}$$

حل این معادله ی ماتریسی به سادگی امکان پذیر است. در نهایت جواب  $y$  به صورت زیر محاسبه خواهد شد:

$$Y = (P^3H)X + \frac{y''(0)}{2!} T^{(.)2} + \frac{y'(0)}{1!} T^{(.)1} + \frac{y(0)}{0!} T^{(.)0}$$

که مقادیر  $y(t)$  را به صورت ماتریس  $Y$  نشان می دهد. به عنوان نمونه مقادیر زیر را در نظر می گیریم:

$$a = 1, b = 0, c = 2$$

$$i(t) = \sin(5t),$$

$$y''(0) = 0, y'(0) = 0, y(0) = 0$$

$$y''' + y'' + 25y' + 25y = \sin(5t)$$

جواب دقیق این معادله به صورت زیر خواهد شد:

$$y(t) = \frac{e^{-t}(125 + e^t(-5(25 + 13t)\cos[5t] + (38 - 325t)\sin[5t]))}{16900}$$

به ازای  $2M = 128, 2M = 512$  پاسخ با استفاده از موجک همراه با پاسخ دقیق در شکل های ۵ و ۶ نشان داده شده است.

$$P_\mu = \begin{bmatrix} P_{0.5\mu} & -\frac{1}{2\mu} H_{0.5\mu} \\ \frac{1}{2\mu} H_{0.5\mu}^{-1} & 0 \end{bmatrix}$$

$$H_{m \times m}^{-1} = \frac{1}{m} H_{m \times m}^T \text{diag}(r) \quad (16)$$

در این روش بالاترین مرتبه ی مشتق موجود در معادله، توسط موجک Haar بسط داده می شود و براساس آن مشتقات دیگر موجود در معادله بدست می آیند. علت این امر را باید در گسستگی تابع Haar جستجو نمود. چرا که این گسستگی مانعی برای مشتق پذیری این تابع است. بنابراین با در نظر گرفتن بالاترین مرتبه ی مشتق و گرفتن انتگرال های متوالی از آن، می توان معادله را برحسب بسط موجک با ضرایب مجهول نوشت.

برای راحتی عملیات محاسباتی بهتر است از شکل ماتریسی معادله استفاده نمود. این کار باعث می شود تا بتوان از ماتریس  $H$  و  $P$  استفاده نمود. از آنجایی که ماتریس  $H$  و  $H^{-1}$  دارای صفرهای زیادی هستند و از قبل معلوم اند، با بکارگیری ساختار داده های مربوط به ماتریس های اسپارس<sup>۳۰</sup> باعث زیاد شدن سرعت محاسبات در موجک Haar نسبت به تبدیل فوریه<sup>۳۱</sup> یا تبدیل ولش<sup>۳۲</sup> می شوند [8]. با انتخاب  $2M$  نقطه روی بازه ی حل و تشکیل ماتریس های  $H_{2M \times 2M}$  و  $P_{2M \times 2M}$  و استفاده از رابطه ی (۱۷) ( $m$  مرتبه ی معادله است)، پس از جایگذاری در معادله ی مفروض، معادله ای ماتریسی و خطی بدست می آید که با روش های متداول به سادگی حل خواهد شد.

$$y^{(n)}(t) \triangleq Y_{(n)} = (P^n H)X + \sum_{i=0}^{m-n-1} \frac{y^{(n+i)}(0)}{i!} T^{(.)i} \quad (17)$$

در رابطه ی (۱۷)، ماتریس  $X$  همان ضرایب مجهول موجک می باشد که ابعاد  $2M \times 1$  را داراست. ماتریس  $I$  نیز دارای همین ابعاد است. مقادیر این ماتریس، مقدار ورودی را در هر نقطه از بازه ی حل نشان می دهد. همانطور که ذکر شد  $m$  مرتبه ی معادله است. ماتریس  $T$  همان ماتریس نقاط

در مورد کاربرد موجک در حل ODE و PDE، بجز روش CHM، روش‌هایی از جمله روش قطعه قطعه-سازی (SM)<sup>33</sup> [9] و روش تقریب تکه ای ثابت (PCA)<sup>34</sup> هستند که در [6] و [7] و [10] بررسی شده‌اند. در [3] به بررسی و مقایسه‌ی سرعت و همگرایی و پیچیدگی این روش‌ها پرداخته شده است. با توجه به نتایج حاصل CHM روشی ساده و در عین حال روشی سریع است. سرعت آن به این علت است که اکثر درایه‌های ماتریس های P و H صفر می باشند. اشکال روش CHM، عدم پایداری آن برای تقریب‌های مرتبه‌ی بالاتر است. این مساله با مثال-هایی در [3] نشان داده شده است. در [11] روش مذکور با کاربردهایی برای آنالیز سیستم های stiff بکاربرده شده است.

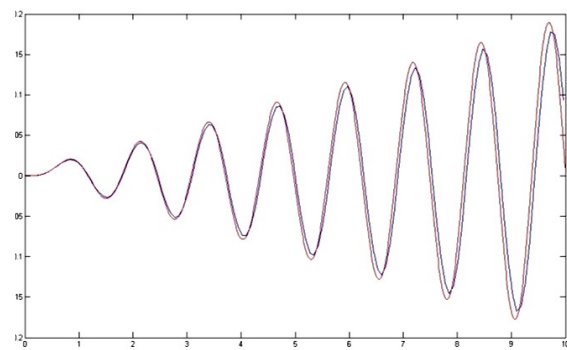
بر اساس این ایده ها، روش Galerkin-Wavelet (GMW) به عنوان روشی برای حل عددی PDE، مورد توجه است و روی آن کار می شود [12]. ترکیب ایده‌ی موجک و روش اجزاء محدود نیز از ایده‌های جالب برای حل معادلات PDE (WFEM)<sup>35</sup> است جای کار بسیاری روی آن است.

### سپاسگزاری

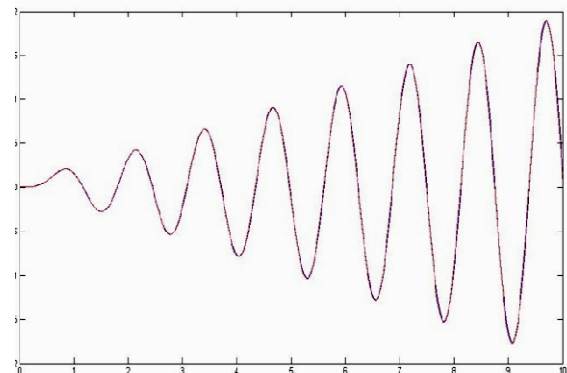
نویسندگان از جناب آقای دکتر غلامرضا مرادی به خاطر راهنمایی‌های ایشان در روند پروژه، تشکر و قدردانی می-نمایند.

### مراجع

- [1] P.Chang, P.PiauSimple, "Procedure for the Designation of Haar Wavelet Matrices for Differential Equations", *International Multi-Conference of Engineers and Computer Scientists*, 2008.
- [2] A.W.Galli, G.T.Heydt and P.F.Ribeiro, "Exploring the Power of Wavelet Analysis", *IEEE Computer Application in Power*, Oct 1996, pp.37 – 41.
- [3] U.Lepik, "Numerical Solution of Differential Equations Using Haar Wavelets", *Mathematics and Computers in Simulation* 68 (2005) 127–143



شکل ۵: تقریب جواب معادله ی دیفرانسیل مثال مطرح شده به ازای  $2M=128$  در مقایسه با جواب دقیق



شکل ۶: تقریب جواب معادله ی دیفرانسیل مثال مطرح شده به ازای  $2M=512$  در مقایسه با جواب دقیق

### ۶- نتیجه گیری و کار آینده

در این مقاله، علاوه بر معرفی کلی موجک‌ها و بررسی موجک Haar و استفاده از آن برای تقریب توابع، روش CHM برای حل معادلات دیفرانسیل-انتگرال مورد بررسی واقع شد.

با توجه به گستردگی ایده های مطرح شده در حل عددی معادلات انتگرال-دیفرانسیل، مطالعه و تحقیق روی بهینه-سازی یا نوآوری در طرح های موجود، کاری زمان‌بر است. از طرفی با توجه به جدید بودن این روش‌ها و همچنین کاربردهای ناشناخته‌ی بسیار آنها در علوم مهندسی، می-توان پیش‌بینی کرد، موجک و کاربرد آن در آنالیزهای عددی و مسائل بهینه سازی، بسیار جای کار دارد.

33 Segmentation Method

34 Piecewise Constant Approximation

35 Wavelet Finite Element Method



- [9] J.Majak, M.Pohlak, M.Eerme, T.Lepikult, "Weak formulation based Haar Wavelet Method for Solving Differential Equations", *Applied Mathematics and Computations*, 211(2009) pp. 488-494.
- [10] G.Hariharan, K. Kannan, "Haar Wavelet Method for Solving Cahn-Allen Equation", *Applied Mathematical Sciences*, Vol. 3, 2009, no. 51, 2523 - 2533
- [11] U.Lepik, "Haar Wavelet Method for Solving Stiff Differential Equations", *Mathematical Modeling and Analysis*, Vol.14, No. 4, 2009, pp. 467-481.
- [12] H.Akca, M.H.Ali-Lail, "Survey on Wavelet Transform and Application on ODE and Wavelet Network", *Advances in Dynamical Systems and Applications*, Vol.1-Number 2(2006), pp.129-162.
- [4] S.Mallat, "a Wavelet Tour of Signal Processing, The Sparse Way", 3<sup>rd</sup> Edition, 2009, Elsevier Pub.
- [5] R.Dai, J.E.Cochran, "Wavelet Collocation Method for Optimal Control Problems", *Journal of Optimization Theory and Applications*, Vol. 143, No. 2 / November, 2009.
- [6] C.Cattani, "Haar wavelet spline", *Journal of Interdisciplinary Math.*4 (2001) 35-47.
- [7] C.F.Chen, C.H.Hsiao, "Haar Wavelet Method for Solving Lumped and Distributed-Parameter Systems", *IEEE Proc. Pt.D*144 (1)(1997) 87-94.
- [8] P.Chang, P.Piau, "Haar Wavelet Matrices Designations in Numerical Solution of Ordinary Differential Equations", *IAENG International Journal of Applied Mathematics*, Volume 38 Issue 3(2008).